

ÉRZÉKELŐK I

Dr. Pődör Bálint

Óbudai Egyetem KVK Mikroelektronikai és Technológia Intézet

7. ELŐADÁS: OPTIKAI SUGÁRZÁSÉRZÉKELŐK II.



2010/2011 tanév 2. félév

1

5. ELŐADÁS

1. A megvilágított pn átmenet tulajdonságai



2

2. Fotodiódák

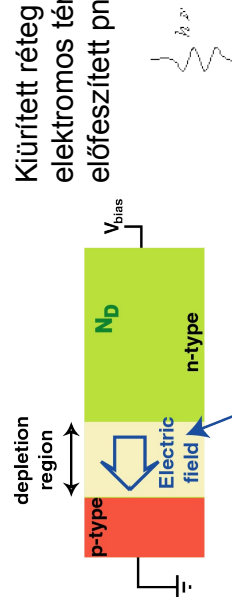
3. PIN fotodiódák

4. Lavina fotodiódák

5. Fototranszisztorok

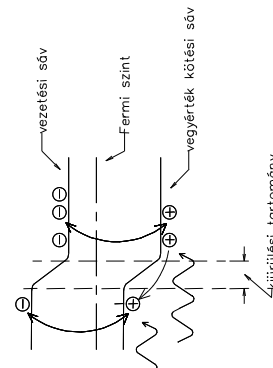
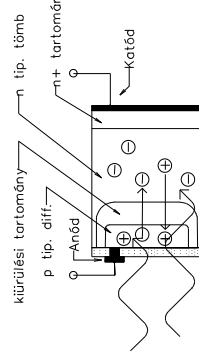
A FOTOÁRAM GENERÁLÁSI MECHANIZMUSA

Kürtött réteg és beépített
elektromos tér zárirányban
előfeszített pn átmenetben

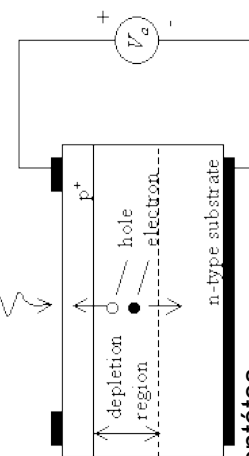


1

ELEKTRON-FOLYAMATOK A MEGVILÁGÍTOTT PN ÁTMENETBEN



3

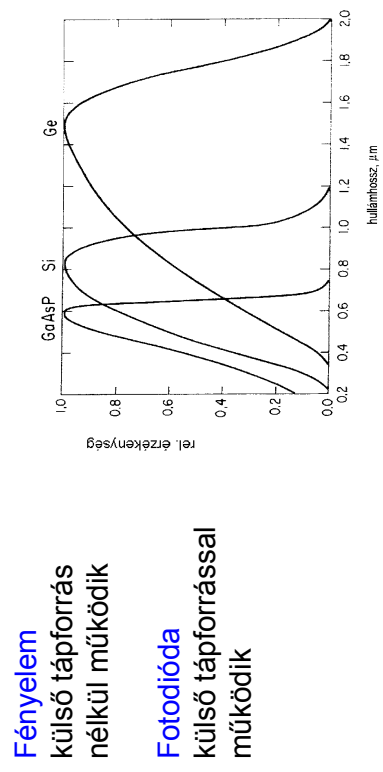


A fény által kellett elektron-
lyuk párokat a beépített
elektromos tér szétválasztja
és a generált töltéshordozók
egy, a nyitóirányú árammal ellentétes
irányú áramot hoznak létre.

4

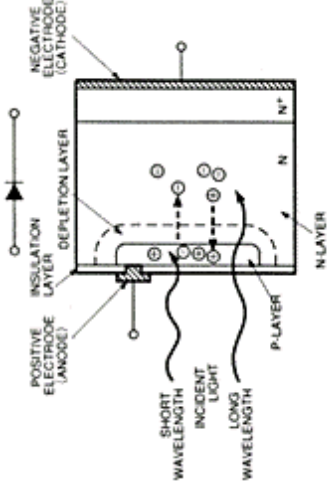
FÉNYELEM/FOTODIÓDA

PN ÁTMENETES FOTODIÓDA



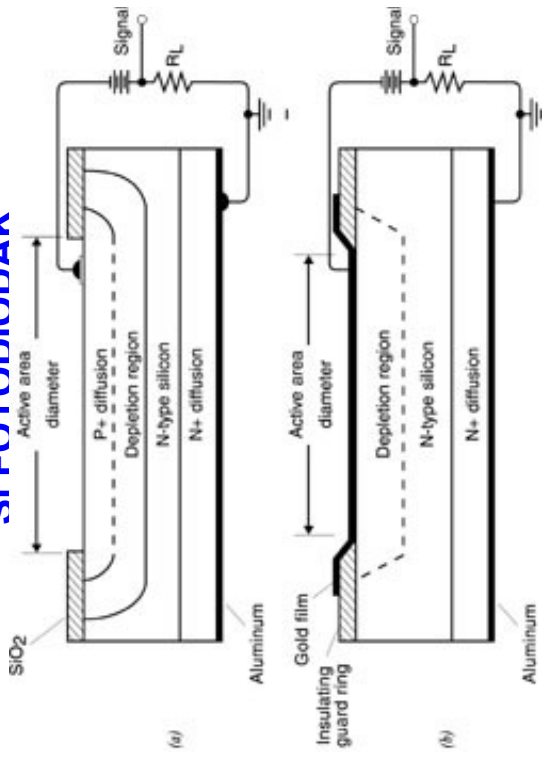
Félvezetők fényelem/fotodióda készítéshez

5



pn-átmennetes fotodióda felépítése. A fény által keltett elektron-lyuk párok a kiürített réteg elektromos terében szétválnak, az elektronok a katód (n^+) a lyukak az anód (p) felé sodrnak.⁶

PN- ÉS FÉM-FÉLVETETŐ (SCHOTTKY-) Si FOTODIÓDÁK



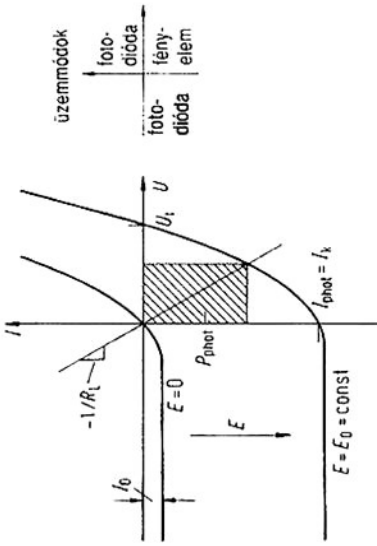
Az I_{ph} fotoáramot a keltett elektronok és lyukak hozzá létre. A kiürített rétegbeli beépített elektromos tér az elektronokat az n-típusú, a lyukakat a p-típusú tartomány felé sodorja.

$$I = I_s \left(\exp\left(\frac{qU}{kT}\right) - 1 \right) - I_{ph}$$

8

MEGVILÁGÍTOTT PN-ÁTMENET ÁRAM-FESZÜLTSÉG KARAKTERISZTIKÁJA

PN ÁTMENET ÁRAM-FESZÜLTÉG KARAKTERISZTIKÁJA



9

$I_{\text{phot}} = P_{\text{phot}}$ rövidzárási fotóáram
 U_1 üresjárási fotofeszültség
 P_{phot} fototeljesítmény

Az ideális pn átmenet áram-feszültség karakterisztikája (megvilágítás nélkül)

$$I = I_s (\exp(\frac{qU}{kT}) - 1)$$

$$I_s = A(j_p + j_n) = A(\frac{qD_p p_n}{L_p} + \frac{qD_n n_p}{L_n})$$

D - diffúziós állandó, L - diffúziós hossz, A - keresztmetszet.
A telítési áram a kisebbsegű töltéshordozók (n-oldalon lyukak, p oldalon elektronok diffúziós árama (Shockley egyenlet))

RÖVIDZÁRÁSI (FOTO-) ÁRAM

Megvilágítva a többletáram $-I_{\text{ph}}$, és az $I - U$ karakterisztika

$$I = I_s (\exp(\frac{qU}{kT}) - 1) - I_{\text{ph}}$$

A pn átmenet rövidzárási árama ($U = 0$, fotóáram), $I_{\text{sc}} = -I_{\text{ph}}$

A megvilágított pn átmenet (és így a fotodióda) rövidzárási árama a fotoárammal egyenlő, és így arányos a fényteljesítménnyel.

A megvilágított pn átmenet (és így a fotodióda) üresjárási feszültsége (fotofeszültség) legalább is erős megvilágításkor, logaritmikusan függ a fényintenzitástól.

ÜRESJÁRÁSI (FOTO-) FESZÜLTÉSG

Megvilágítva a többletáram $-I_{\text{ph}}$, és az $I - U$ karakterisztika

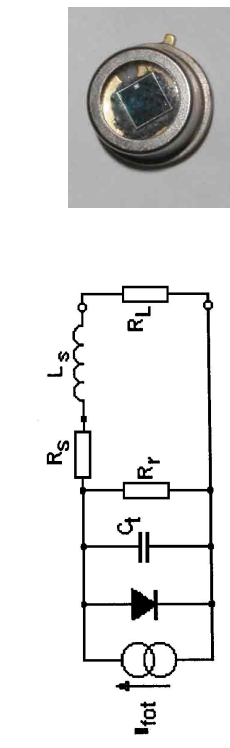
$$I = I_s (\exp(\frac{qU}{kT}) - 1) - I_{\text{ph}}$$

Az üresjárási feszültség ($I = 0$, fotofeszültség) U_{oc}

$$U_{\text{oc}} = \frac{kT}{q} \ln(1 + \frac{I_{\text{ph}}}{I_s}) + \frac{kT}{q} \ln(\frac{I_{\text{ph}}}{I_s})$$

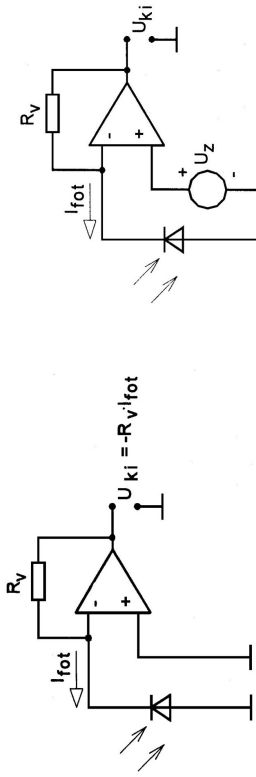
FOTODIÓDA HELYETTESÍTŐ KÉPE

FOTOÁRAM MÉRÉSE



dióda – ideális dióda, áramgenerátor – fotoáram,
kondenzátor – pn-átmenet kapacitása záróirányban,
párhuzamos ellenállás – szivárgás, stb., soros ellenállás –
félvezető chip nem kiürített tartománya, induktivitás –
huzzávezetések
 $R_{\text{shunt}} = 100 \text{ k}\Omega - 1 \text{ G}\Omega$, $R_{\text{series}} = 10 - 500 \text{ }\Omega$

I_{fot} 13



Fotodióda áram-feszültség átalakítása előfeszítés nélküli (rövidzár) illetve előfeszítéses üzemmódban.

14

PIN DIÓDA

Introduction to p-i-n Diodes



Photodetector Quantum Efficiency

$$\eta = \frac{J/q}{P_o/(A h \nu)} = (1 - R) (1 - e^{-\alpha W})$$

Design for high quantum efficiency:

- Long intrinsic absorbing region $W > \frac{1}{\alpha}$
- Low reflectivity surface $R \approx 0$
- Small doped p-region $W_p \ll \frac{1}{\alpha}$
- primary transport by drift $J = -q(1 - R) \left(\frac{P_o}{A h \nu} \right) (1 - e^{-\alpha W})$
- slow carrier movement by diffusion
- small depletion with - high capacitance $C_j = \frac{eA}{x_p + x_n + W}$
- can engineer bandgap so absorption is only in depletion region
- can't change bandgap to reduce parasitic absorption

5

PIN DIÓDA

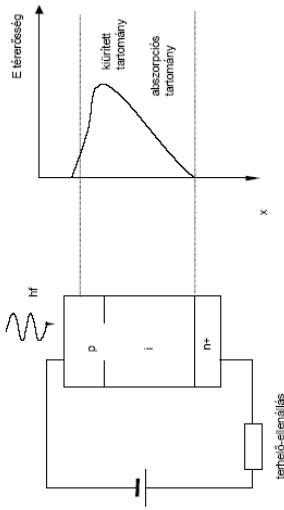
Photodetector Quantum Efficiency

$$\eta = \frac{J/q}{P_o/(A h \nu)} = (1 - R) (1 - e^{-\alpha W})$$

16

PIN FOTODIÓDA

PIN FOTODIÓDA FELÉPÍTÉSE

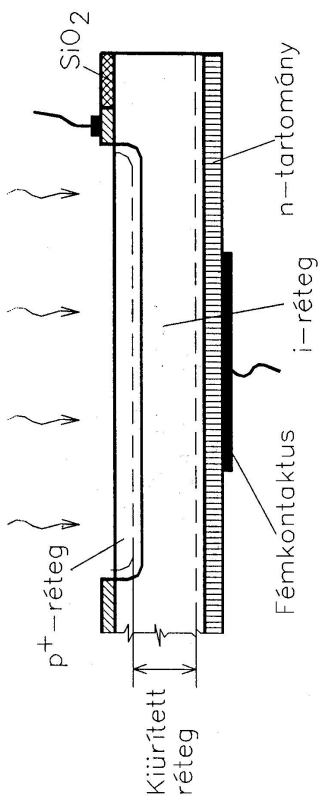


i-tartomány (közel "intrinsic"): alacsony adalékolású

A pn átmenet drift áram lesz domináns a diffúziós áram felett (nincs torzulás, diszperzió).

Vastagabb elnyelőréteg – n és R megnő, de a válaszidő (futási idő) lecsökken.

17



18

PIN FOTODIÓDA ÉRZÉKENYSÉGE

Mekkora egy PIN fotodióda érzékenysége az 1,3 cm és 1,55 cm távközlési hullámhosszakon, ha a kvantum-hatásfok 80 % ?

$$R = \frac{\eta q}{h\nu} = \frac{\eta\lambda [cm]}{1,24 [A/W]}$$

$R = 0,84 A/W$, illetve $1 A/W$. Az érzékenység hullámhosszfüggése abból adódik, hogy λ növelésével egyre kisebb energiájú foton kelti az elektron-lyuk párokat.

19

PIN FOTODIÓDA

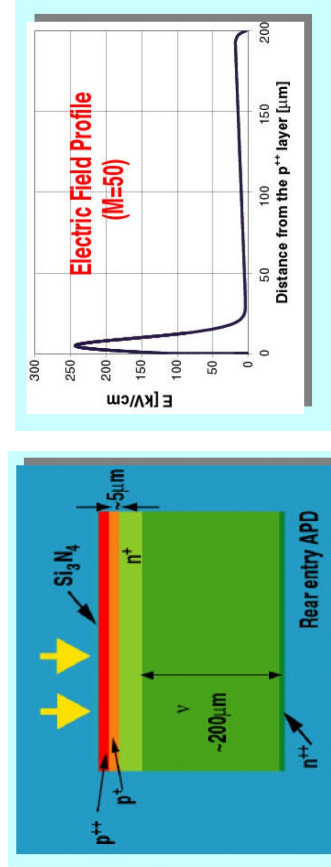
Az addott hullámhossztartományt (fotonenergiában kifejezve 0,8 eV – 0,95 eV) az InP szubsztrátra rácstorzulás nélkül növeszhető $In_{0,53}Ga_{0,47}$. As átfogja (levágási hullámhossza kb. 1,63 cm), ma ez az elfogadott megoldás.

A tiltott sáviját tekintve a germánium is megfelelne, de az abból készült diódák zajosak, és más hátrányos tulajdonságai is vannak.

20

LAVINA FOTÓDIÓDA

LAVINA FOTODIÓDA



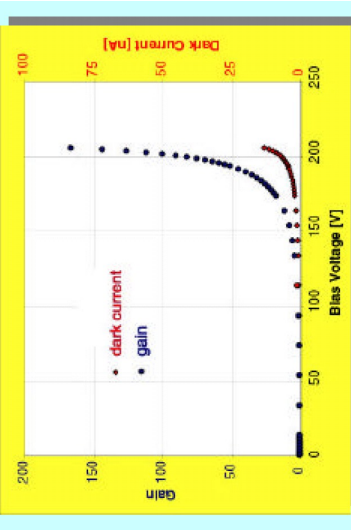
Lavina fotodióda (avalanche photodiode, APD)

Az ütközési ionizáció töltéshordozósokszorozódást hoz létre (**erősítés**)
21

Si lavina fotodióda szerkezete, és az elektromos térerősség eloszlása
22

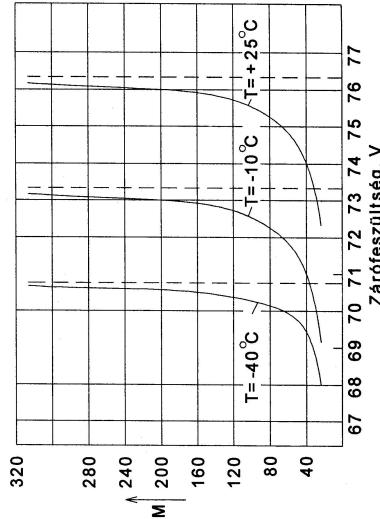
LAVINA FOTÓDIÓDA

LAVINA FOTODIÓDA



I-U karakterisztika (sötétáram), erősítés (lavinasokszorozási tényező) feszültségsfüggése.
23

Si lavinafotodióda multiplikációs tényezője a zárófeszültség függvényében
24



LAVINASOKSZORZÁSI TÉNYEZŐ

A lavinasokszorozási (multiplikációs) tényező empirikusan írható le

$$M = \frac{1}{1 - (U/U_b)^n}$$

U_b – letörései feszültség
 $n \approx 3 \dots 5$

25

26

LAVINA FOTODIÓDA: PÉLDA

Egy 6 A/W érzékenységű lavinadióda, 10^{10} sec^{-1} foton-áramot fogad $1,5 \text{ cm}^2$ -en. Ha a lavinasokszorozási tényező 10 , mekkora a kvantumhatásfok, és mekkora a fotoáram?

A belső erősítés megnöveli az érzékenységet, ezt figyelembe kell venni a kvantumhatásfok kiszámításánál:

$$R = M (\eta q/hf) = M (\eta \lambda [cm]/1,24), \text{ ebből } \eta \oplus 50 \% \text{ adódik.}$$

A fotoáram

$$I_{\text{tot}} = R P_{\text{opt}} = R n h (c/\lambda) =$$

$$6 \times 10^{10} \times 6,626 \times 10^{-34} \times 3 \times 10^8 / 1,5 \times 10^{-6} = 7,95 \times 10^{-9} \text{ A}$$

PIN ÉS APD FOTÓDIÓDÁK

Válaszidő [ns]	Hullámhossz [nm]	Maximális érzékenység hullámhossza [nm]	Érzékenység [A/W]	Sörétegáram [nA]
Si-PIN	<0.5	300-1100	800	0.5
Ge-PIN	<0.1	500-1850	1550	0.7
InGaAs-PIN	<0.3	900-1700	1700	0.6
Si-APD (m=150)	<0.5	300-1100	800	75
Ge-APD (m=50)	<1	500-1850	1550	35
InGaAs-APD (m=50)	<0.25	900-1700	1700	12
				100

R - a kollektor-bázis dióda fotoérzékenysége.

Az eszköz úgy működik, mint egy közös emitteres erősítő, ahol a bázisáramnak a fotoáram felel meg.

FOTOTRANZISZTOR

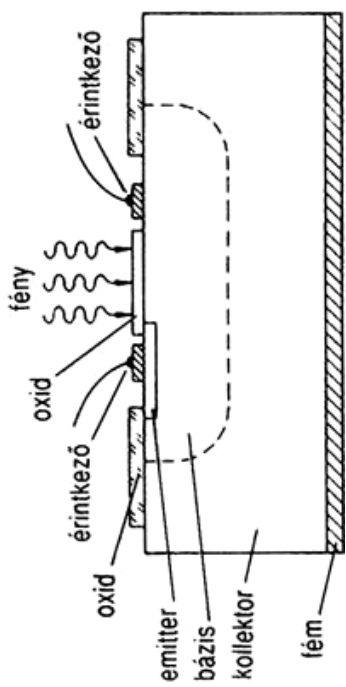
Szerkezetileg a fototranzisztor egy npn vagy pnp tranzisztorhoz hasonló, és egy beépített ablak biztosítja a fény behatolását az emitteren rétegen keresztül a bázisba. A kollektor-bázis dióda fotoárama a tranzisztorhatás révén felérősdve jelentkezik mint kollektormáram

$$I_{\text{tot}}(CE) = (1 + \beta) I_{\text{tot}}(BC) = (1 + \beta) RP_{\text{opt}}$$

27

28

Si FOTOTRANZISZTOR FELÉPÍTÉSE



A nagyfelületű kollektor-bázis átmenetben mint fotodiódában
fotoáram generálódik, melyet a tranzisztor hatás felerősít

29

FOTOTRANZISZTOR

A fototranzisztor működése csak szűkebb megvilágítás-
tartományban lineáris amiatt hogy a β áramerősítési tényező
szintűleg, minden a kisebb mind a nagyobb megvilágítási
tartományokban (kollektoraramnál) lecsökken.

Sok esetben nincs is szükség lineáris jelleggörbére, mert a
sötét-világos érzékelése között több nagyságrendi különbség
van, közbülső finom átmenet nincs. Ilyenek a digitális
ledlámpák, jelenlétérzékelők, fény sorompók, fordulatszámm-
érzékelők, stb.

Foto-Darlington: többbezserzes áramerősítés, de tovább
romlik a linearitás.

30

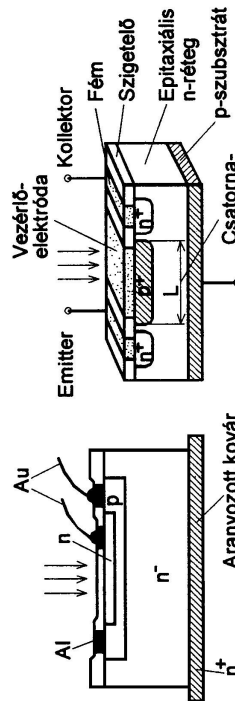
FOTOTRANZISZTOR

Foto-Darlington: többbezserzes áramerősítés, de tovább
romlik a linearitás.

Frekvenciamenet: nagy bázis-kollektor kapacitás a
meghatározó.

Fototranzisztor: néhány μ sec
Foto-Darlington: néhány 10μ sec
(Fotodióda: ~nsec)

FOTOTRANZISZTOROK FELÉPÍTÉSE



a,

a. Planár diffúziós technikával készített fototranzisztor
metszete. A tokon ablakot nyitnak, melyet síküveggel,
lencsével, vagy műanyagfedéssel látnak el.

b. Foto-FET felépítése

31

32

FOTO-FET

CMOS LIGHT/IMAGE SENSORS

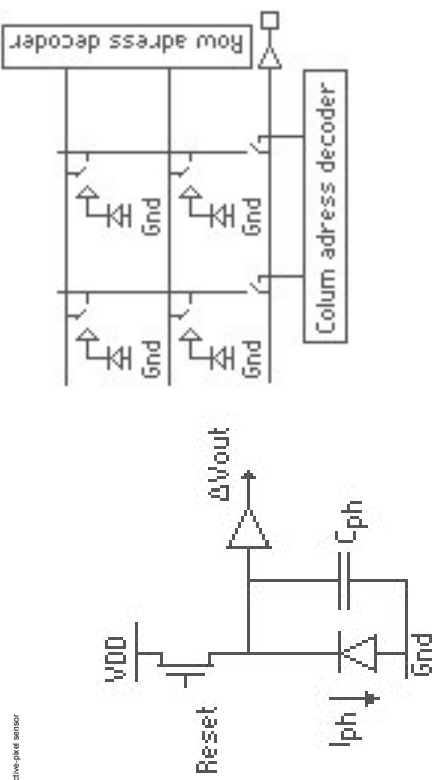
A foto FET lényegében egy fotodióda és egy nagy bemeneti impedanciájú merősítő integrált megalósításának tekinthető. A megvilágítás a vezérlő- (gate-) elektrodán keresztül történik. Az így keltett fotoáram hozzáadódik a forrás (S) és a nyelő (D) közötti áramhoz. A vezérlő elektroda feszültségét úgy kell beállítani, hogy a foto-FET sötétben zárjon.

Előnyök: működése lineáris, és a linearitás független a szinttől.

Általában integrált formában (foto-FET hálózatok és mátrixok) készülnek (pl. CMOS képfelvezők).

33

APS active-pixel sensor

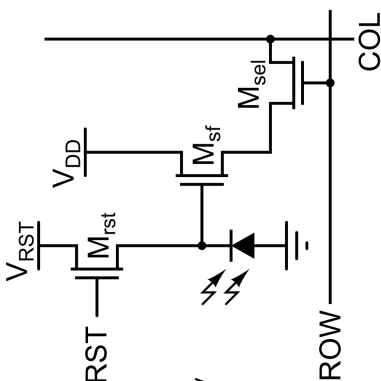


34/10

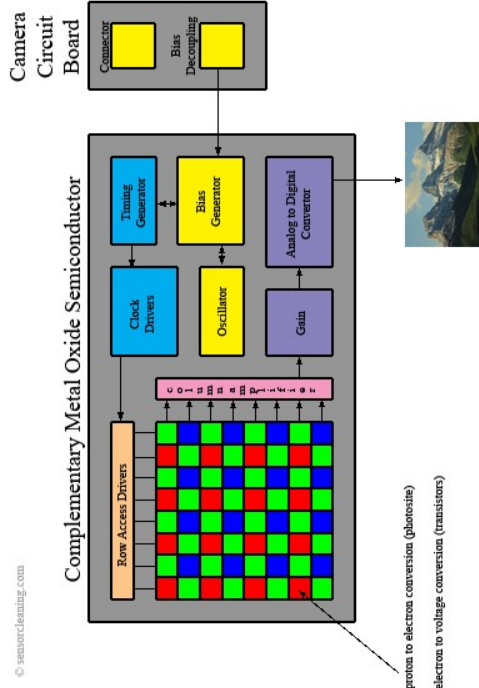
APS PIXEL

The 3T CMOS APS pixel comprises a photo diode and three MOSFETs. The reset transistor, M_{rst} , acts as a switch to reset the floating diffusion which acts in this case as the photo diode. When it is turned on, the photodiode is connected to the power supply, V_{RST} , clearing all integrated charge.

The read-out transistor, M_{sf} , acts as a buffer amplifier (source follower), allowing the pixel voltage to be observed without removing the accumulated charge. Its power supply, V_{DD} , is typically tied to the power supply of the reset transistor. The select transistor, M_{sel} , allows a single row of the pixel array to be read by the read-out electronics.



APS/CMOS SENSOR: CIRCUITRY



-6

FOTODETEKTOROK ERŐSÍTÉSE ÉS VÁLASZIDEJE

NAPELEM

Fotodetektor	Erősítés	Válaszidő sec	Működési hőmérséklet, K
Fotoellenállás	$1 \cdot 10^6$	$10^{-3} \cdot 10^{-8}$	4,2-300
PN dióda	1	10^{-11}	300
PIN dióda	1	$10^{-8} \cdot 10^{-11}$	300
Fém-félvezető dióda	1	10^{-11}	300
Lavina fotodióda	$10^2 \cdot 10^4$	10^{-10}	300
Bipoláris fototranszistor	10^2	10^{-8}	300
Térvezérlésű fototranzisztor	10^2	10^{-7}	300

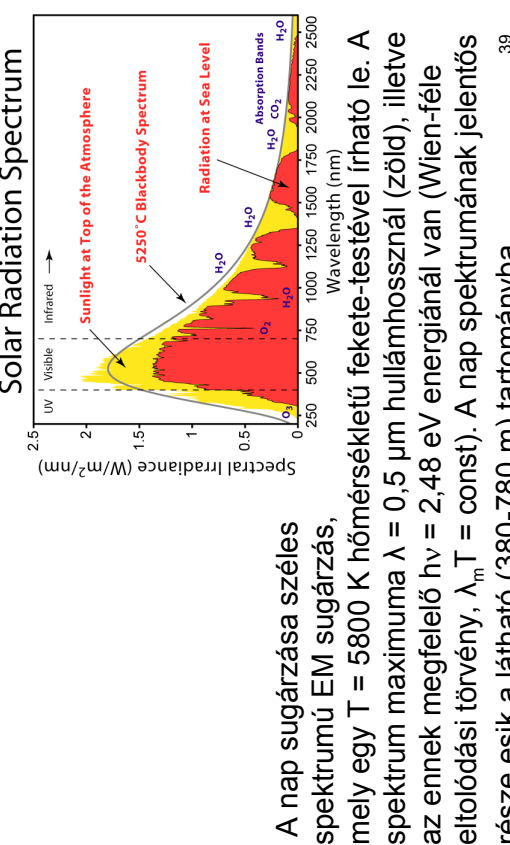
37

38

A napelem fizikai működését tekintve lényegében egy nagy felületű pn-átmenetes fotodióda, mely az áram-feszültség karakterisztika negyedik negyedében (generátoros üzem) működik. A működési mechanizmus a és a fotovoltaikus hatásom alapul.

A napfényet a napsugárzás meg, és az a rendeltetése hogy a nap (sugárzás) energiáját közvetlenül elektromos energiává alakítsa át.

A NAP SUGÁRZÁSI SPECTRUMA



NAP SUGÁRZÁSA

A napsugárzás átlagos intenzitása a Napról a Nap-Föld távolságnak megfelelő távolságra, de a Föld légkörén kívül 1353 W/m^2 (napállandó).

A föld felszínén az atmoszférikus abszorpció és szóródás, valamint a beesési szög függvényében a sugárzási intenzitás jóval kisebb, Zeniten lévő Nap és merőleges beesés esetén 925 W/m^2 . Az előző az AM0, az utóbbi az AM1 spektrumnak felül meg (AM: air mass).

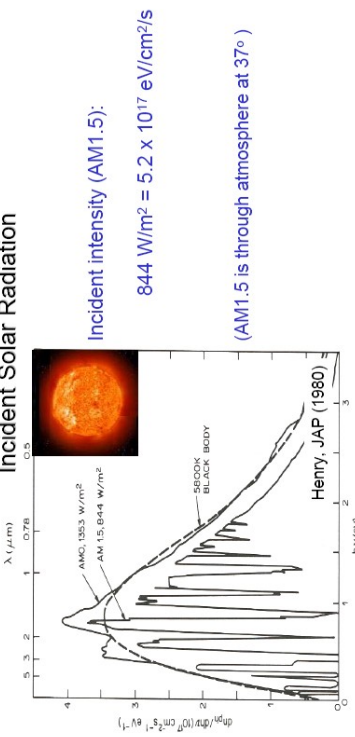
Referenciaként gyakran használják az AM1 értékhez közel eső $1000 \text{ W/m}^2 = 100 \text{ mW/cm}^2$ értéket.

39

40

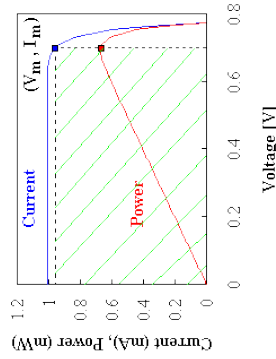
ENERGIA ...

NAPELEM: MUNKAPONT



- The average power incident upon the surface of the Earth from sunlight is ~10,000 times the average global power consumption.

- The average power incident upon the continental United States is ~500 times our national consumption (total energy consumption, not just electricity). 10% efficient PV systems over 2% of the US.



A napelem teljesítménye, ha az U feszültség függvényében vizsgáljuk, eleinte közel lineárisan nő a cella feszültségével, de még a pn átmenet "nyitófeszültsége" elérése előtt eléri maximumát, és utána meredeken zérusra csökken a nyitófeszültség környékén.

42

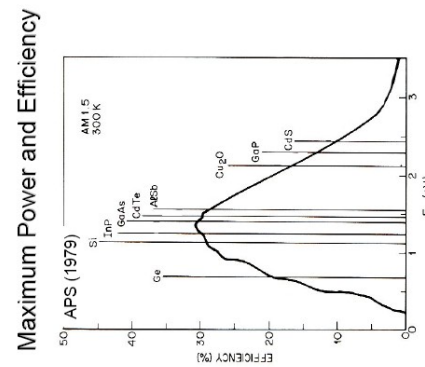
TEJESÍTMÉNY ÉS KITÖLTÉSI TÉNYEZŐ

FF kitöltési tényező (fill factor): napelem maximális teljesítménye és az $U_{oc} I_{sc}$ szorzat (üresjárási feszültség és rövidzárási áram szorzata) hányadosa

$$FF = \frac{P_m}{U_{oc} I_{sc}}$$

A napelemből kivehető teljesítmény az I_{sc} fotoáram növelésével illetve az átmenet telítési áramának csökkentésével növelhető. Az előzőt a rendelkezésre álló napsugárzás erőssége határozza meg illetve, limitálja, az utóbbit a félvezető intrinsik töltéshordozó-koncentrációja. Szilícium napelemek tipikus adatai $U_{oc} = 0,5 - 0,8$ V, és $I = 1\Omega - 10 \text{ mA/cm}^2$

MAXIMÁLIS HATÁSFOK



- Increasing E_g improves voltage for a given total input power
- Reducing E_g improves current since more light is collected

43

44

NAPELEM HATÁSFOKA

NAPELEM TÍPUSOK

Az ideális pn-átmennetes napelem hatásfoka adott sugárzási spektrum mellett a cella anyagát képező félevezető tiltott sávjának függvénye. A Nap sugárzási spektruma esetén ~1,4 eV tiltott sáv esetén van az ideális hatásfok maximuma, és ez ~31 %. Eszerint GaAs vagy InP lenne a legjobb félevezető a napelem céjére, azonban a Si technológia fejlettsége és olcsósága nagy előny a gyakorlati alkalmazásokban. Az ürbeli alkalmazásokban azonban, ahol a hatásfoka eléri a 22 %-ot, a kritikus, és a költségek másodlagosak, a GaAs alapú napelemelek elterjedtek.

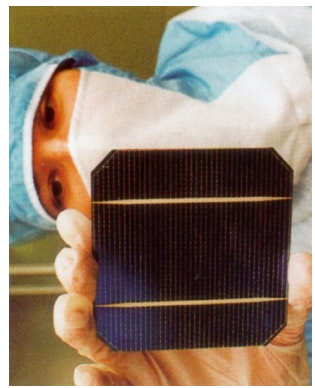
45

Fontosabb típusok, illetve szerkezetek

Egykristályos Si, GaAs

Vastagréteg amorf-Si

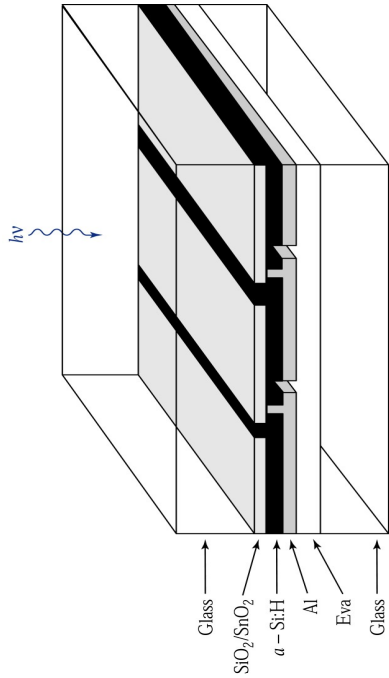
Vastagréteg CIS és CIGS



46

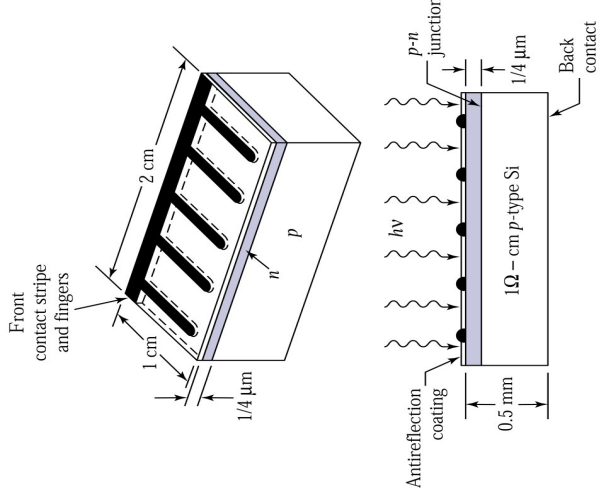
CIS napelem: n-CdS/p-CuInSe₂
CIGS napelem: n-CdS/p-CuInGaSe₂

a-Si napelem

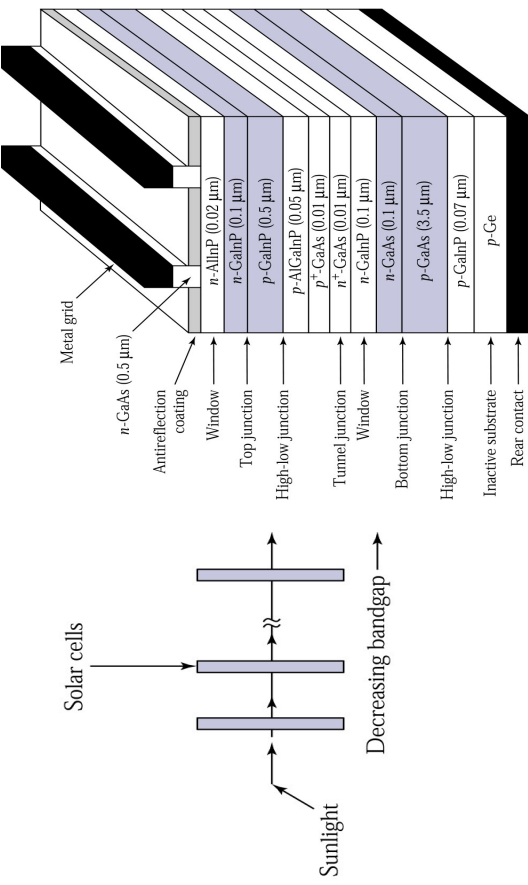


Series-interconnected a-Si solar cells deposited on a glass substrate with a rear glass cover bonded using ethylene vinyl acetate.

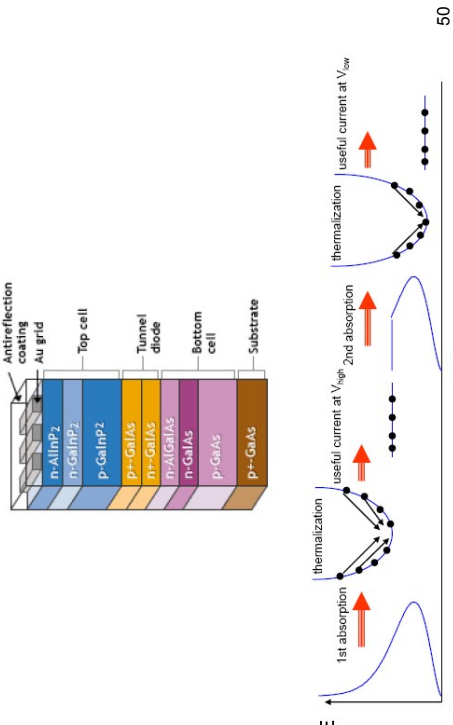
47



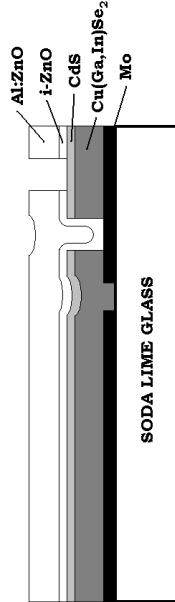
TANDEM NAPELEM



Multijunction Cells

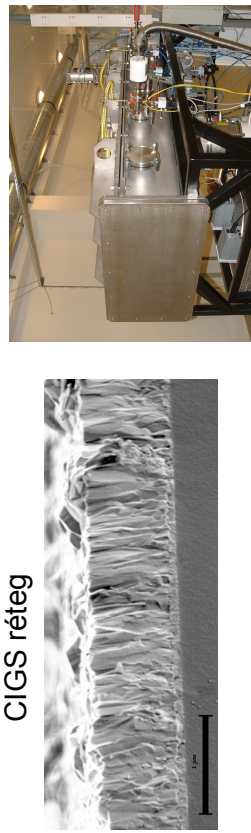


CIGS NAPELEM



CIGS NAPELEM PILOT-LINE: MTA MFA

Rétegleválasztási technológiája:
Porlasztás:
Párologtatás:
CIGS réteg

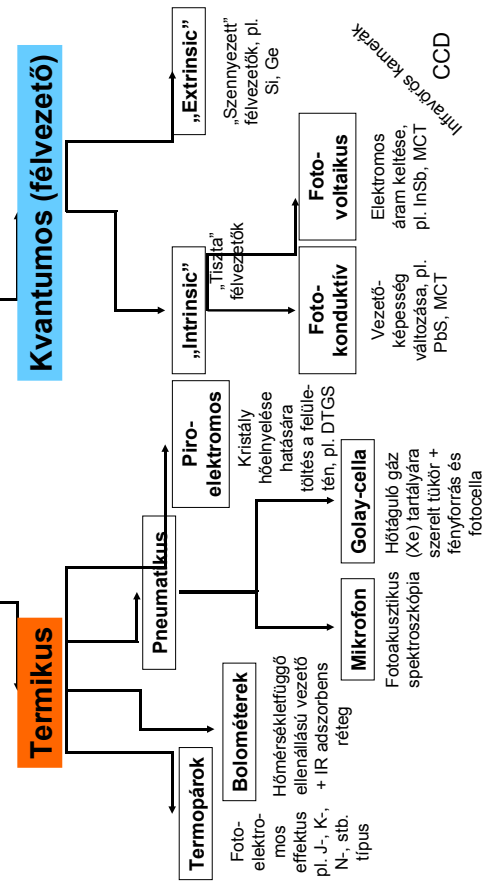


$\text{Cu}(\text{Ga,In})\text{Se}_2$ (kalkopirit rácsú vegyület-félvezető)
1,0-1,1 eV tiltott sáv, p-típus (fényelnyelő réteg)
 CdS 2,42 eV tiltott sáv, n-típus
 ZnO 3,2 eV tiltott sáv, n-típus, nagyellenállású,
(ablak/antireflexios réteg)
 ZnO:Al n-típus, kis ellenállás, áttátszó kontaktusréteg

Porlasztással leválasztott
 ZnO:Al réteg

SUGÁRZÁSDETTEKTOROK

Sugárzás (IR) detektorok



Termikus hatás:

A sugárzás által közvetített energia elnyelése az elnyelő közeg hőmérsékletének emelkedéséhez vezet, ami közvetve (bolométer, piroelektromos érzékelők) fehlasználható a detektálásra.
A termikus hatás tehát közvetett érzékelés.

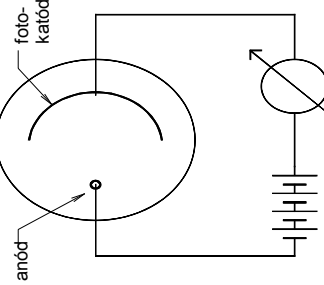
54

SUGÁRZÁSÉRZÉKLÉS: TERMIKUS EFFEKTUSOK

SUGÁRZÁSÉRZÉKLÉS: KVANTUMOS EFFEKTUSOK

Kis energiák (néhány eV) illetve a látható, és a láthatóhoz közeli (infravörös, ultraibolya) hullámosszánai:

Külső fotelektronos effektus
Töltéshordozó (elektron-lyuk pár) generálás



KÜLSŐ FOTELEKTROMOS EFFEKTUS: FOTOCELLA

Működési mechanizmus:
külső fotelektronos hatás
Vákuum- vagy gázoltétes „cső”
Gázoltés – szekunder ionizáció – nagyobb érzékenység, de nemlineáris karakterisztika

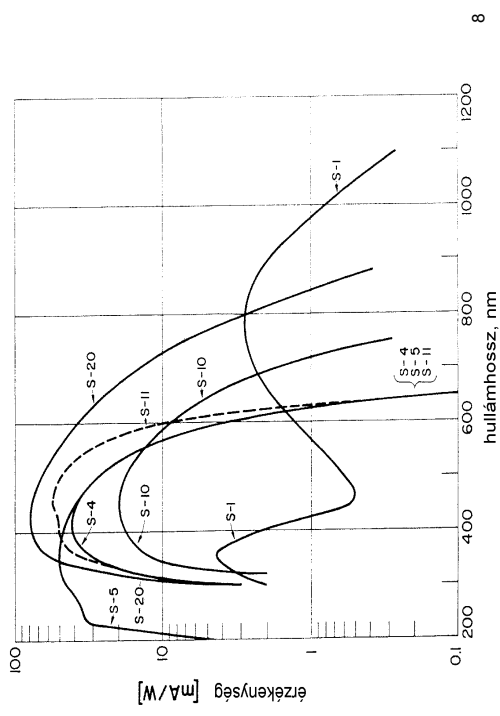


55

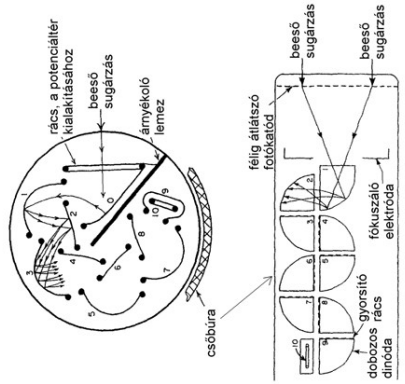
56

FOTOELEKTRONSOKSZOROZÓ (PEM)

FOTOKATÓDOK SPEKTRÁLIS ÉRZÉKENYSÉGE



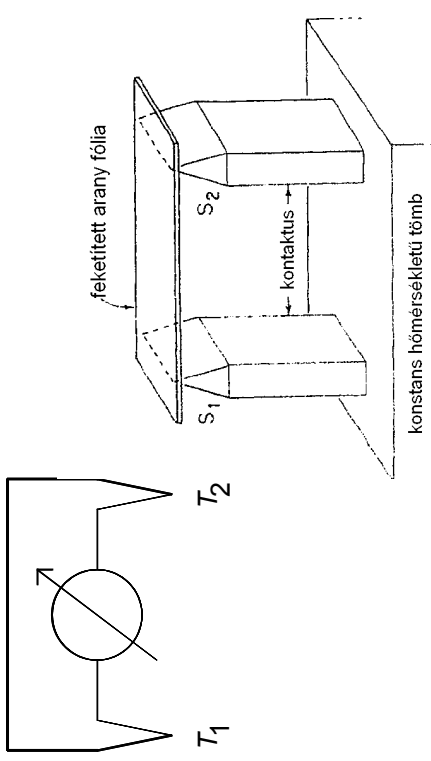
Egyedi foton-detectálási!



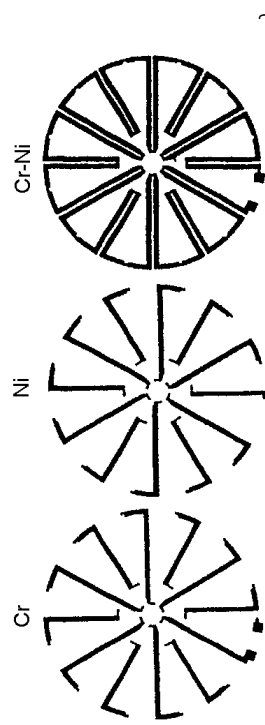
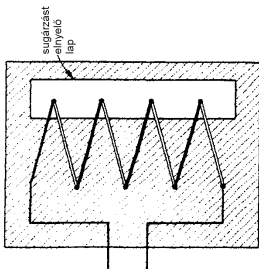
Általában 12 elektroda (dinóda)
1200-1400 V dc

$$M = (1 - \delta) k^n \oplus 10^{5-10^6}$$

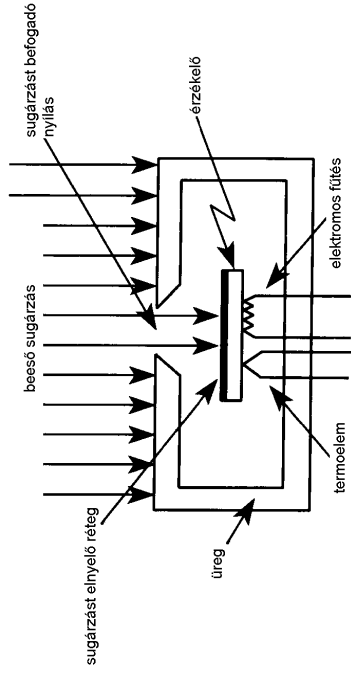
TERMIKUS DETEKTOROK



TERMOOSZLOP



ÜREG DETEKTOR



Abszolút, elektromosan kompenzált üreg-detektor

61

VÉGE

62